

## Lignine : élément biosourcé aux propriétés prometteuses pour la fonctionnalisation en voie fondue des textiles synthétiques

S. Giraud<sup>1,2</sup>, A.Cayla<sup>1,2</sup>, F. Rault<sup>1,2</sup>, F. Salaün<sup>1,2</sup>, C. Campagne<sup>1,2</sup>

<sup>1</sup> ENSAIT, GEMTEX, 2 Allée Louise et Victor Champier 59100 Roubaix,

<sup>2</sup> Université de Lille, 59000 Lille





# ENSAIT,

Une grande école, une des meilleures écoles textiles d'Europe

## Personnel

**37** enseignants

**30 à 40** enseignants vacataires

**22** ingénieurs et techniciens

**33** personnels administratifs

**400** élèves ingénieurs (dont **75** apprentis)

**130** diplômés par an

**20** étudiants en Master

**40** doctorants

## Etudiants



Bibliothèque de l'ENSAIT

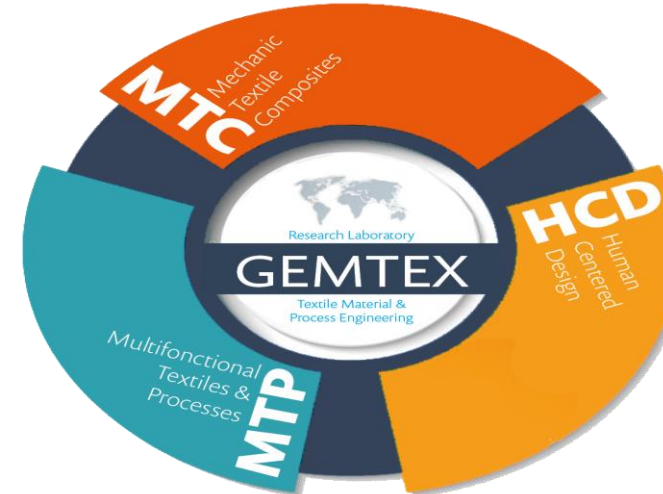
## Le laboratoire GEMTEX

Professeurs **12**

Maitres de conférence **19**

Techniciens et ingénieurs **10**

Attaché temporaire  
d'enseignement et de recherche **3**



Crée en  
**1992**

Directeur :  
**Pr. Xianyi ZENG**

**57**

Doctorants en 2019

**55**

Programmes de recherche collaboratifs depuis 2013

**12**

Brevets depuis 2013

**1**

Programme Erasmus Mondus

### Domaines d'applications:

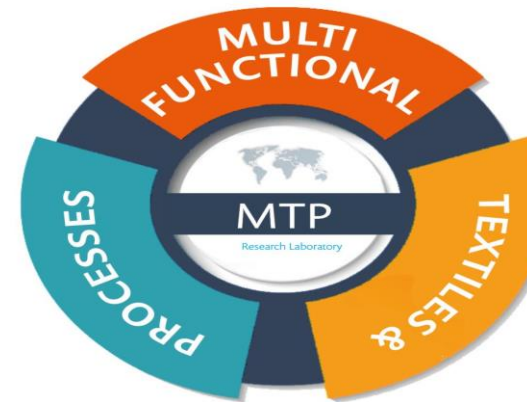
aéronautique, transport, médical , Bien-être, sport & loisir, bâtiment, habillement



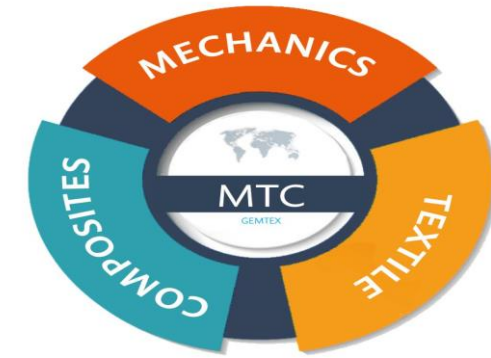
## Le laboratoire GEMTEX : 1 équipe en 3 groupes



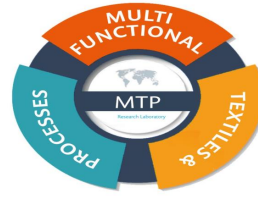
Customisation de masse, analyse sensorielle, textile intelligent, gestion de la chaîne logistique, aide à la décision, modélisation paramètres techniques/critères marketing.



Procédés de mises en œuvre des polymères et systèmes complexes,  
Procédés textiles, Matériaux nanostructurés, Physico-chimie des polymères, Fonctionnalisation de surface, Encapsulation, Interaction entre surfaces et interfaces, Relations structure propriétés, Eco-conception, Durabilité, Caractérisation multi-échelle, Métrologie textile.



Comportement et caractérisation mécanique, modélisation, simulation éléments finis, conception, milieux fibreux, composites, procédés de fabrication, fibres naturelles



## Systèmes complexes à propriétés fonctionnelles



### Formulation de systèmes complexes

**En voie fondué :**

- mélange de polymères
- nanocomposites

**En solution** (apprêt, diffusion):

- ajouts de molécules
- ajouts d'enzymes

**Synthèse de microcapsules**

**Caractérisation**



### Positionnement

## Formulation de systèmes polymères complexes

### En voie fondu :

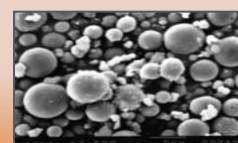
Extrudeuse bi-vis, malaxeur, presse chauffante, ...

### En solvant :

réacteur de formulation (8l), cuve ultra-son,...

### Caractérisation :

Rhéomètre, melt flow index, DMA, DSC ATG, granulomètre, potentiel zéta électrophorèse, IRTF, spectroscopie UV-visible, ...

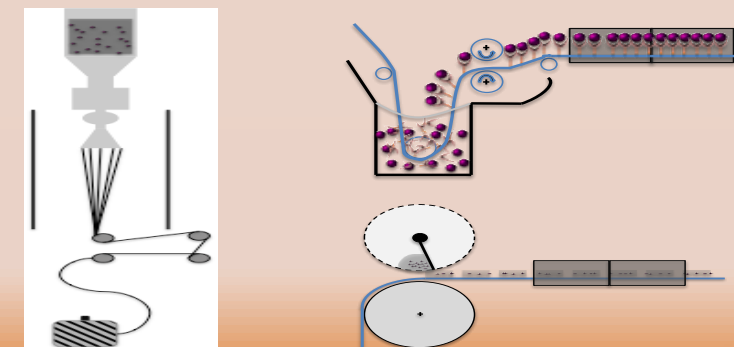


## Mise en œuvre des systèmes complexes

Filage mono-vis, imprimante 3D FDM, autoclave, imprimante jet d'encre, foulard, ligne enduction, table impression, plasma atmosphérique, brodeuse

### Caractérisation:

Tensiomètre, potentiel zéta à potentiel d'écoulement, profilomètre, hot disk, spectroscopie ATR ...



Collaborations avec d'autres plateformes : CETI, CENT, CREPIM, ...

## Procédés Textiles

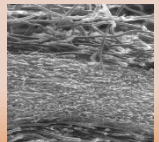
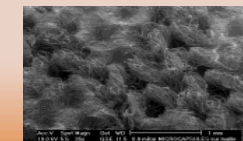
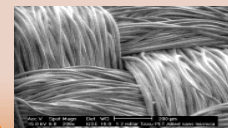
**Filature** : DREF, mini-card, mini-aiguilleteuse, broche creuse, twistec, open end, ...

**Tissage** : métiers à tisser armurés et Jacquard, ...

**Maille** : Métiers maille circulaire, rectiligne automatique et maille jetée double fonture,...

**Tressage** : Tresseuses

**Caractérisation** : banc de traction, banc de perforation, hot disk, perméabilimètre à l'air et l'eau, profilomètre, tensiomètre, banc de filtration, banc acoustique

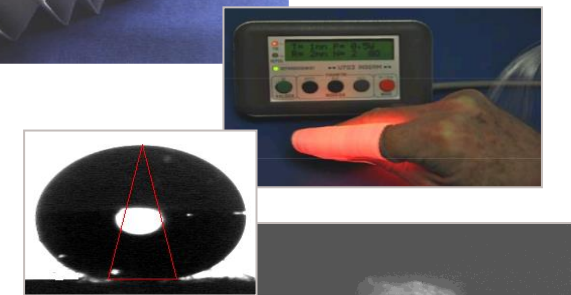


**Protection**

- Equipement de protection individuel (EPI), Filtration et séparation, Ignifugation, Isolation

**Médical**

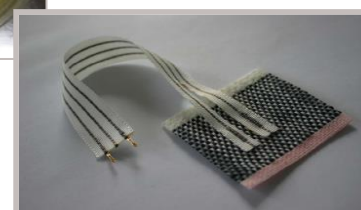
- Régénération osseuse, Chauffant, Thérapie photodynamique

**Bien-être**

- Cosméto-textile, Antibactérien, Confort thermique

**Alerte**

- Capteurs (température, solvants, mécaniques), Actionneur

**Energie**

- Piezoélectricité, récupération RF

# Context

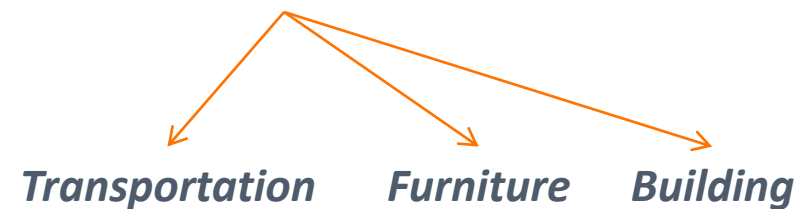
Textile functionalization with sustainable development ?

## Antimicrobial Textile



**Silver particles, ...**

## Flame retardant Textile



**Halogenated Additives, ...**

Current additives for synthetic fibers  
versus  
environmental concerns and/or REACH regulation



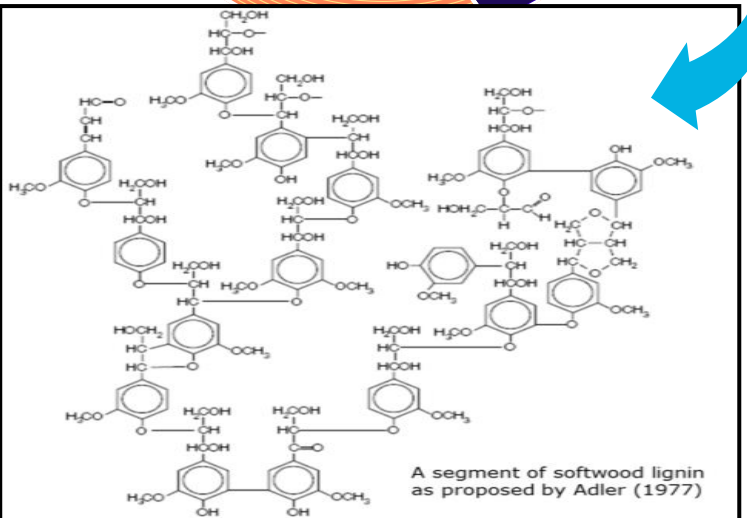
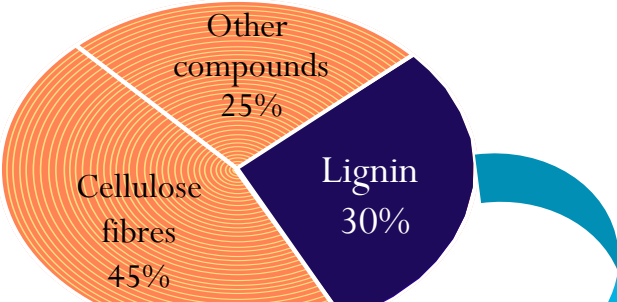
use sustainable fillers

LIGNIN ?

# Lignin advantages



- Most abundant polymer from biomass based on aromatic units
- By-product of wood pulping & paper industries
- Blending compatibility with other thermoplastic polymer
- Previously studied for FR and antimicrobial properties

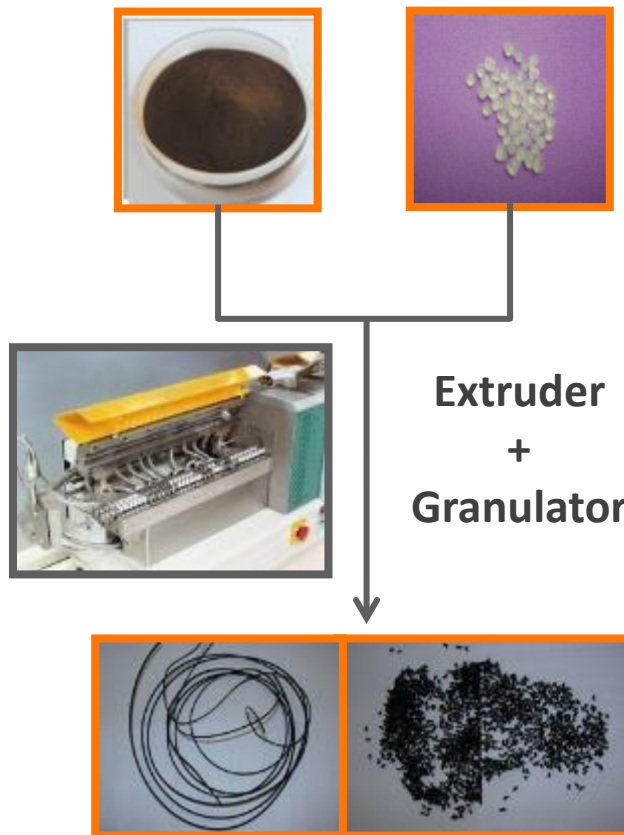


## 2 kind of commercial kraft lignin tested

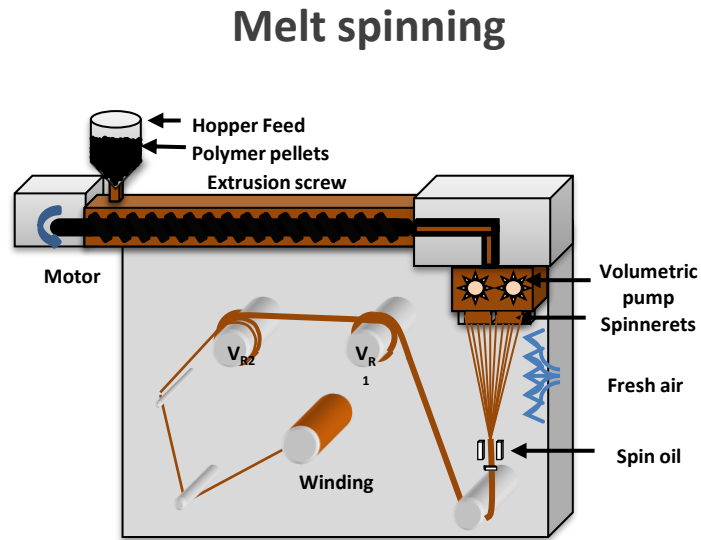
From Sigma Aldrich : **Kraft Lignin (KL)**

From UPM Biochemicals : **Domtar Lignin (DL)**

# Process: functionalized synthetic fabric



Characterization of  
pellets



Knitting machine



Knit fabric

Study of the  
functionalization



Characterization of  
multifilament

# Materials

---



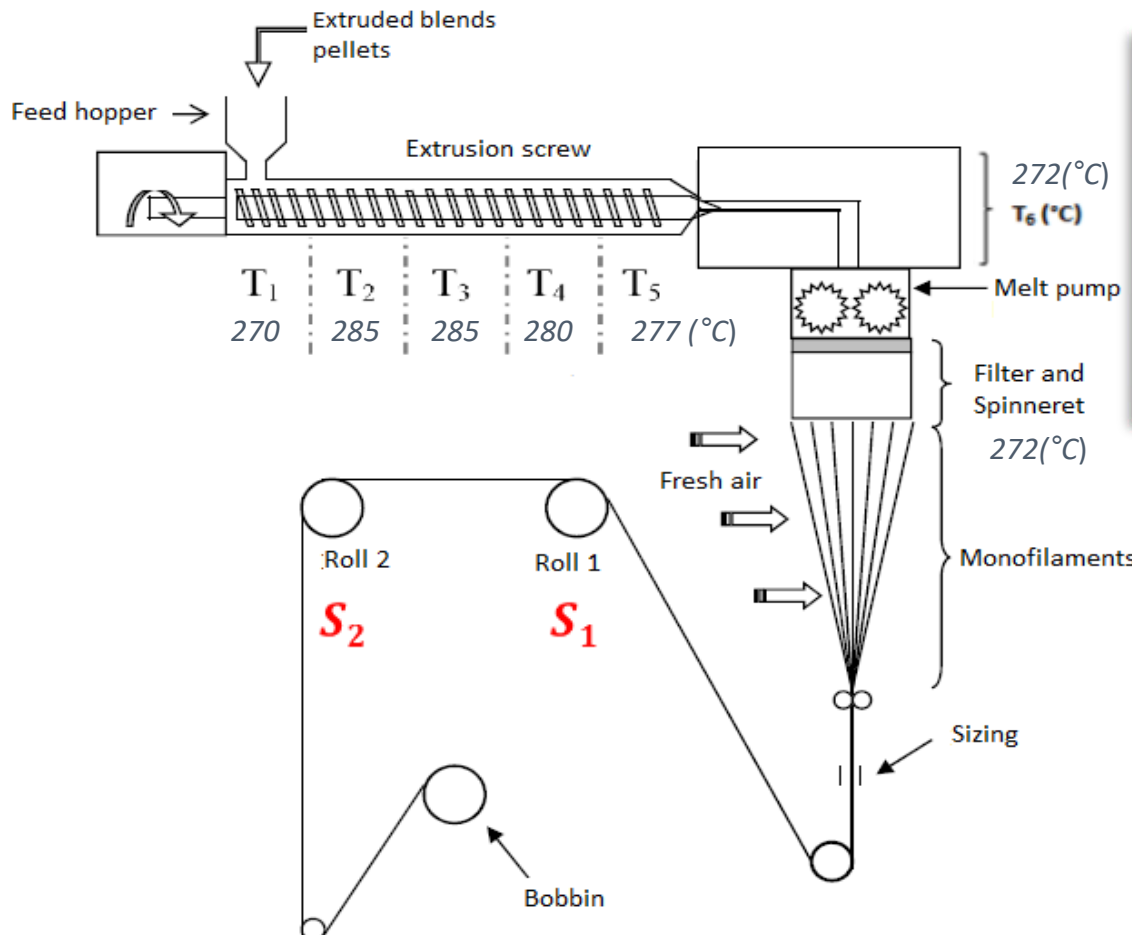
Polyester : PolyEthylene Terephthalate [PET]: the most synthetic fiber used



Additives

- From Sigma Aldrich : **Kraft Lignin (KL)**
- From UPM Biochemicals : **Domtar Lignin (DL)**
- As antimicrobial reference : **TiO<sub>2</sub>** from KRONOS® 1071

# Process : Spinning



Machine : Spinboy I

- Single screw extruder
- Pump speed: 10 rpm

**Draw ratio:**

$$\mathbf{DR = \frac{s_2}{s_1}}$$

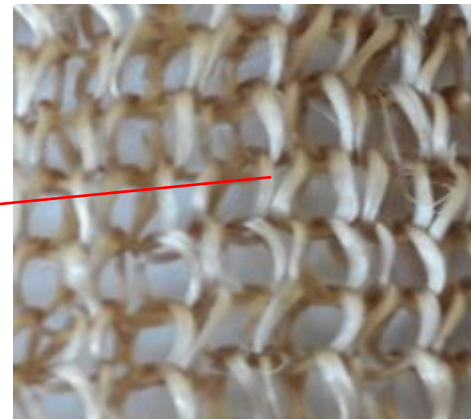
% filler	KL	DL	$\text{TiO}_2$
1	DR= 2	DR= 2&4	DR= 2&4
2	DR= 2	DR= 2&4	DR= 2&4

DR=4 Not spinnable  
because of dispersion

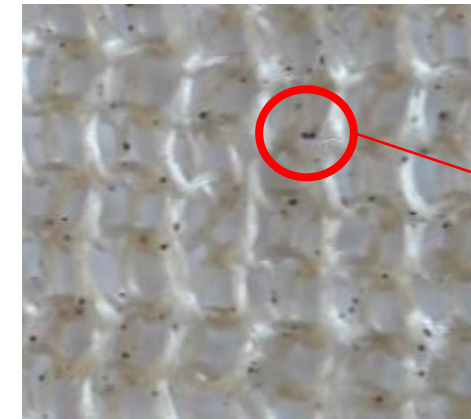
# Filler dispersion (optical characterization)

- First sighting

No agglomeration



Knit: PET + 2wt.% DL



Knit: PET + 2wt.% KL

- Optical microscope : Microscope B1 Advanced Series de MOTIC



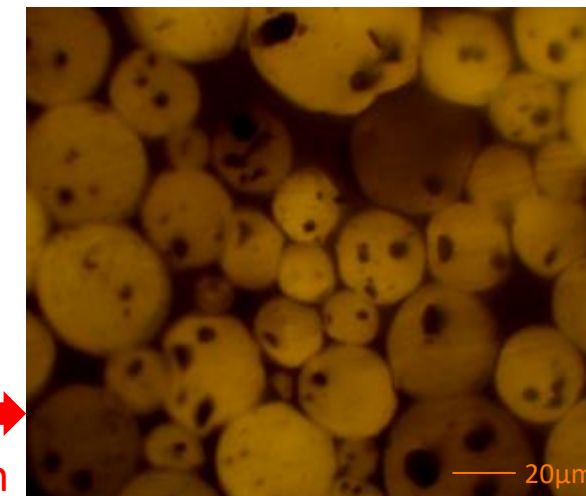
PET + 2 wt.% DL DR=2  
Magnification X10



PET + 2 wt.% KL DR=2  
Magnification X10

- Well dispersion of DL in the PET, not KL

Cross section



PET + 2 wt.% KL DR=2  
Magnification X40

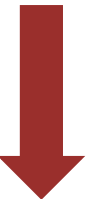
# Filler dispersion (tension surface study)

Surface tension of Lignin

Machine : DigiDrop

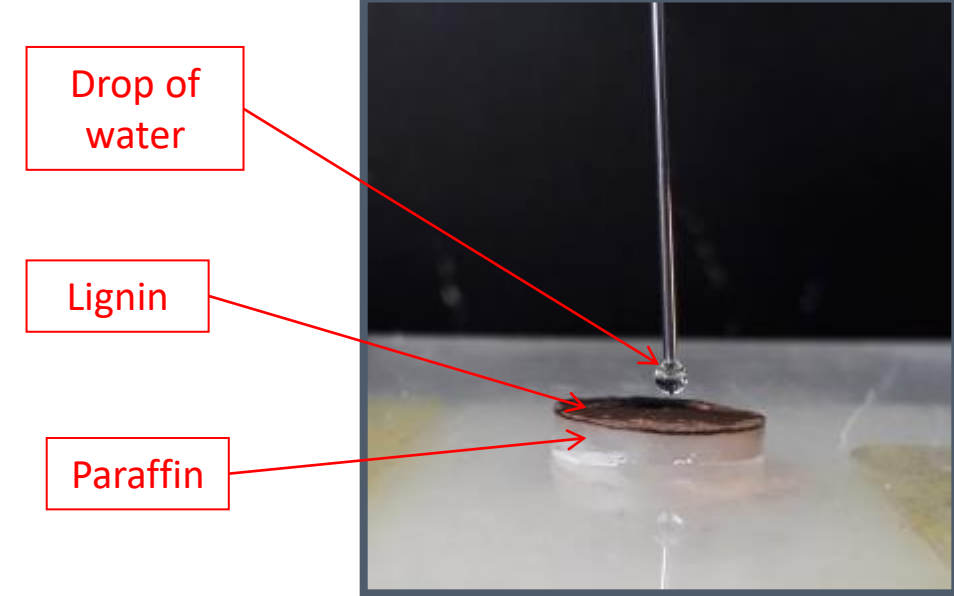
(mN/m)	$\gamma_s$	$\gamma_s^p$	$\gamma_s^d$
KL	55,4	30,1	25,3
DL	53,8	37,9	15,9
PET	39,3	29,7	9,6

$$\gamma_{x/PET} = \gamma_x + \gamma_{PET} - \frac{4 \gamma_x^d \gamma_{PET}^d}{\gamma_x^d + \gamma_{PET}^d} - \frac{4 \gamma_x^p \gamma_{PET}^p}{\gamma_x^p + \gamma_{PET}^p}$$



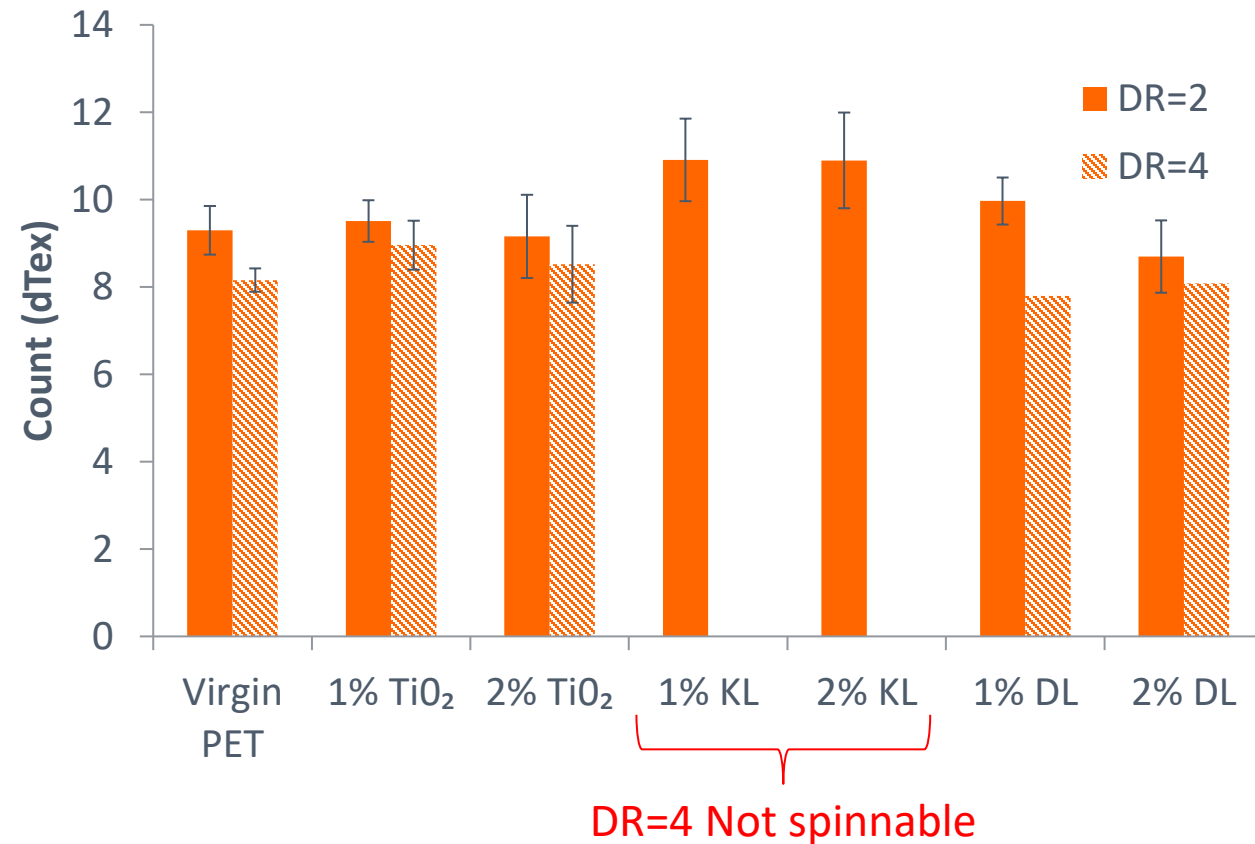
(mN/m)	$\gamma_{X/PET}$
$\gamma_{KL/PET}$	7,0
$\gamma_{DL/PET}$	2,5

$$\gamma_{DL/PET} < \gamma_{KL/PET}$$



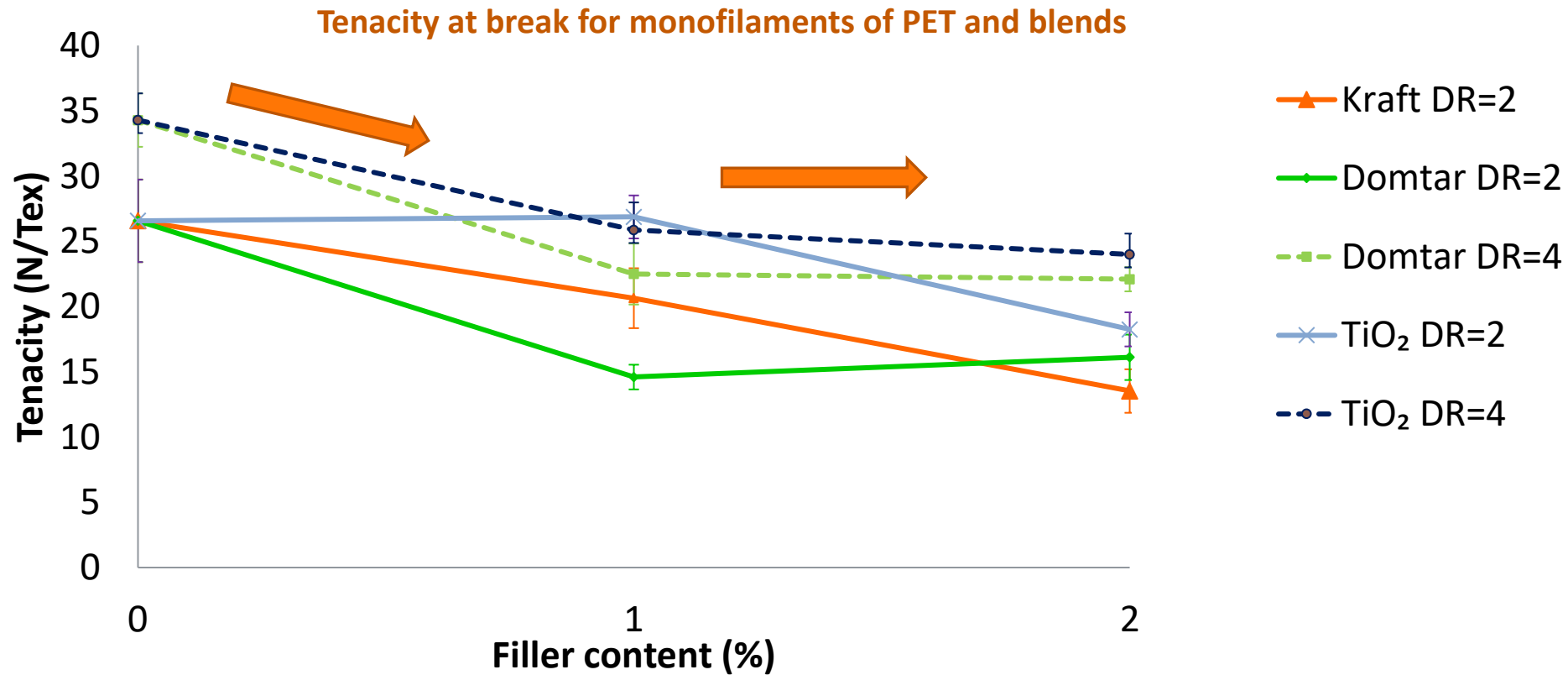
# Physical characterizations of filaments

- Vibroskop LENZING INSTRUMENTS, 10 samples



# Physical characterizations of filaments

- Zwick machine, Standard NF EN ISO 5079, Sample size : 20 mm, deformation rate : 20 mm/min



- KL and DL fillers increase the fragility of the PET by almost 40% but the multifilament can be transformed in textile structure
- When DR = 2 the material is less resistant than DR=4

# Antibacterial Test

- Desizing : knit fabrics with Soxhlet
- Sterilization : 15-20 min at 120°C
- Qualitative test : Agar Diffusion Test
- Bacteria :

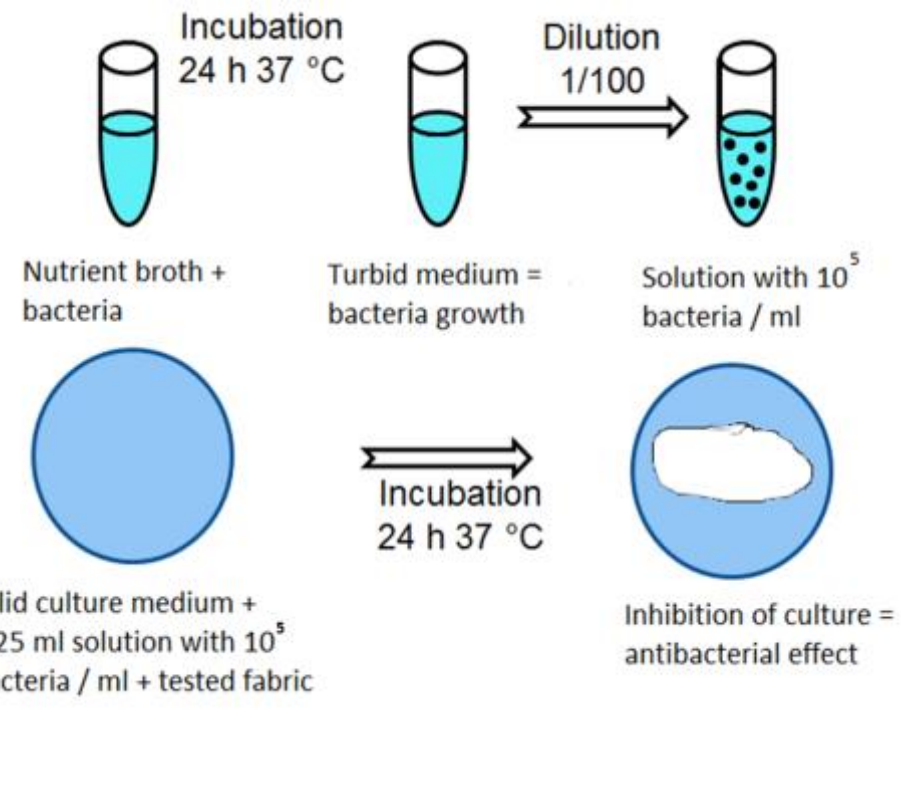
- **Staphylococcus Epidermidis**

Present in large amounts on the human skin  
constantly in contact with clothing textiles

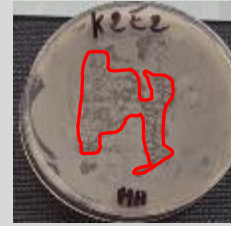


- **Escherichia Coli**

Present mainly in the intestines of mammals



# Antibacterial Test

	Kraft Lignin (2% ; DR=2)	Domtar Lignin (2% ; DR=2)
Gram-positive bacteria <i>Staphylococcus Epidermidis</i>		
Gram-negative bacteria <i>Escherichia Coli</i>		

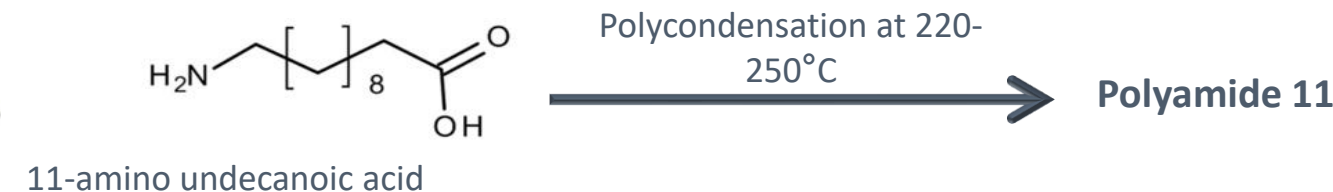
- Both lignins have antibacterial activity more especially Domtar lignin

# Materials

→ **Rilsan® PA11 [PA]:** Bio-polyamide available commercially and used in textile areas



**RILSAN**  
BY ARKEMA



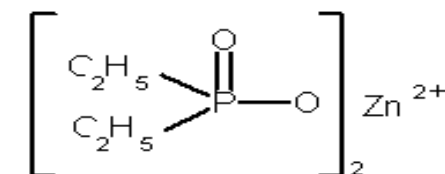
- Low Density
- Greater Tensile strength
- Good resistance against chemical & abrasion



- Oxidation at high temperature
- Bad UV resistance
- **Low flame retardancy**

→ **FR additive:**

- Zinc phosphinate [ZnP], Exolit OP950 (Clariant), fusible compound appropriate for melt spinning
- **DCL200 Lignin from Domtar (Alkali kraft lignin) [DL]** (more compatible than [KL])



# Fire Retardant Formulations

- Additive amount set at 20 wt-%
- Study of the ratio Domtar Lignin / Zinc Phosphinate

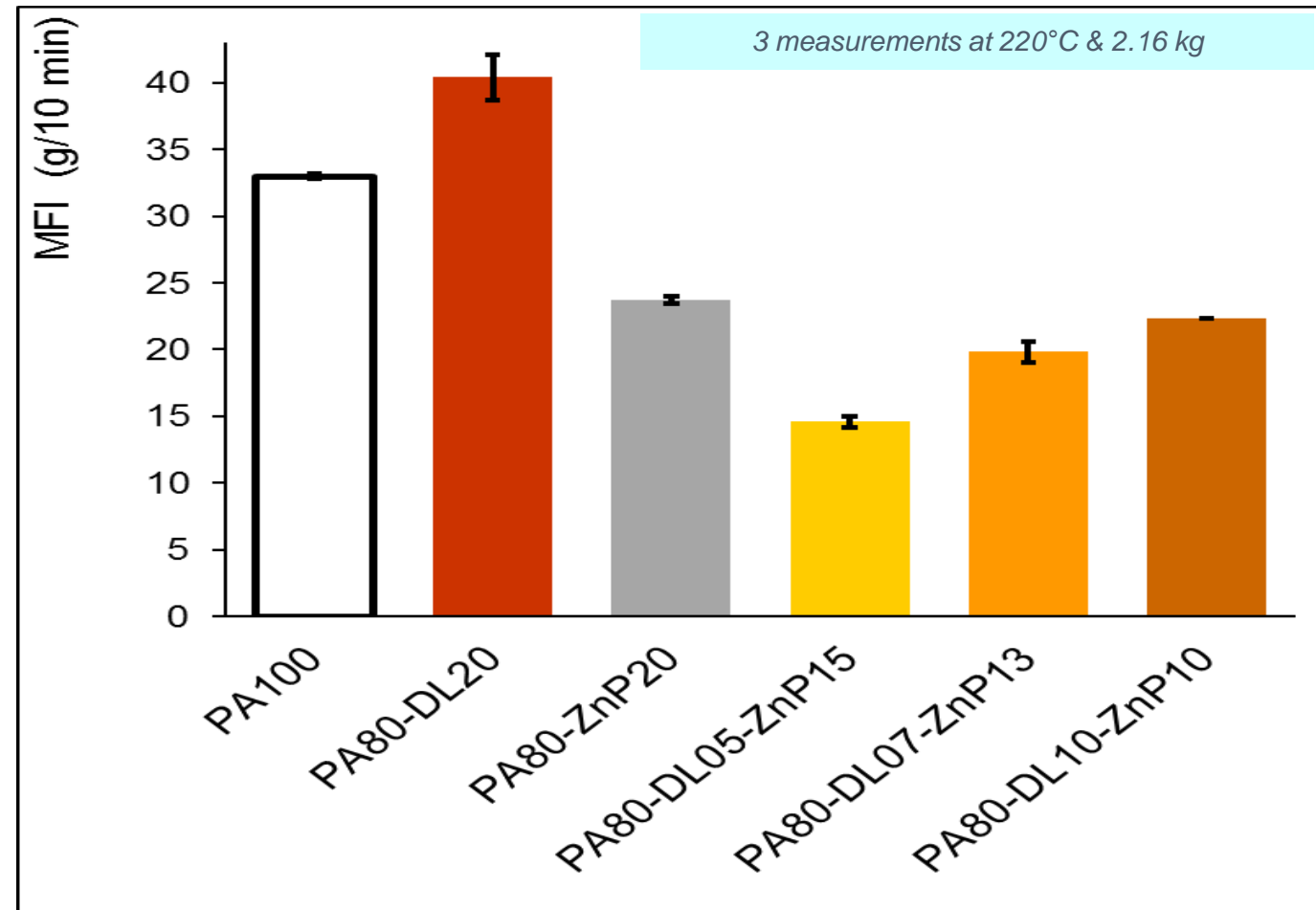
Sample	PA (wt-%)	Domtar Lignin (wt-%)	Zn Phosphinate (wt-%)
PA100	100	0	0
PA80-DL20	80	20	0
PA80-ZnP20	80	0	20
PA80-DL05-ZnP15	80	05	15
PA80-DL07-ZnP13	80	07	13
PA80-DL10-ZnP10	80	10	10

# Fluidity (MFI) Measurement

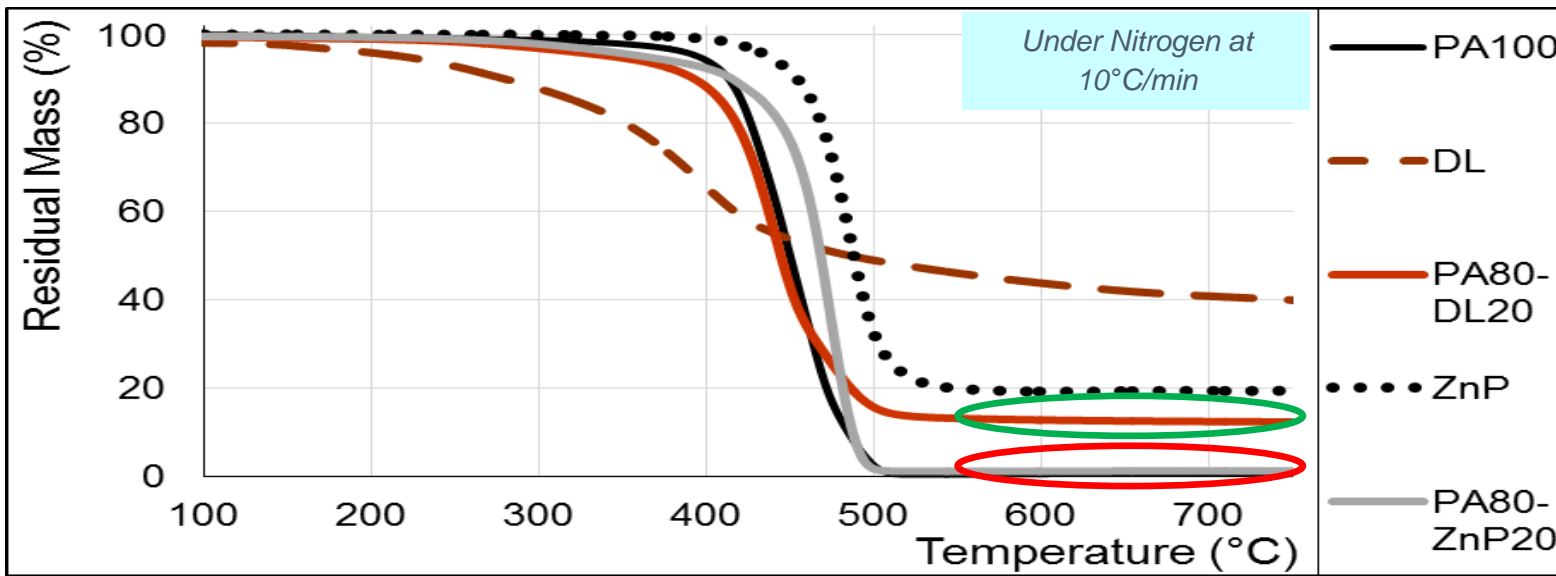
- Melt Flow Index (MFI) :  
Key parameter to get indication for the melt spinning

$$\text{Fluidity (MFI)} \propto \frac{1}{\text{Viscosity}}$$

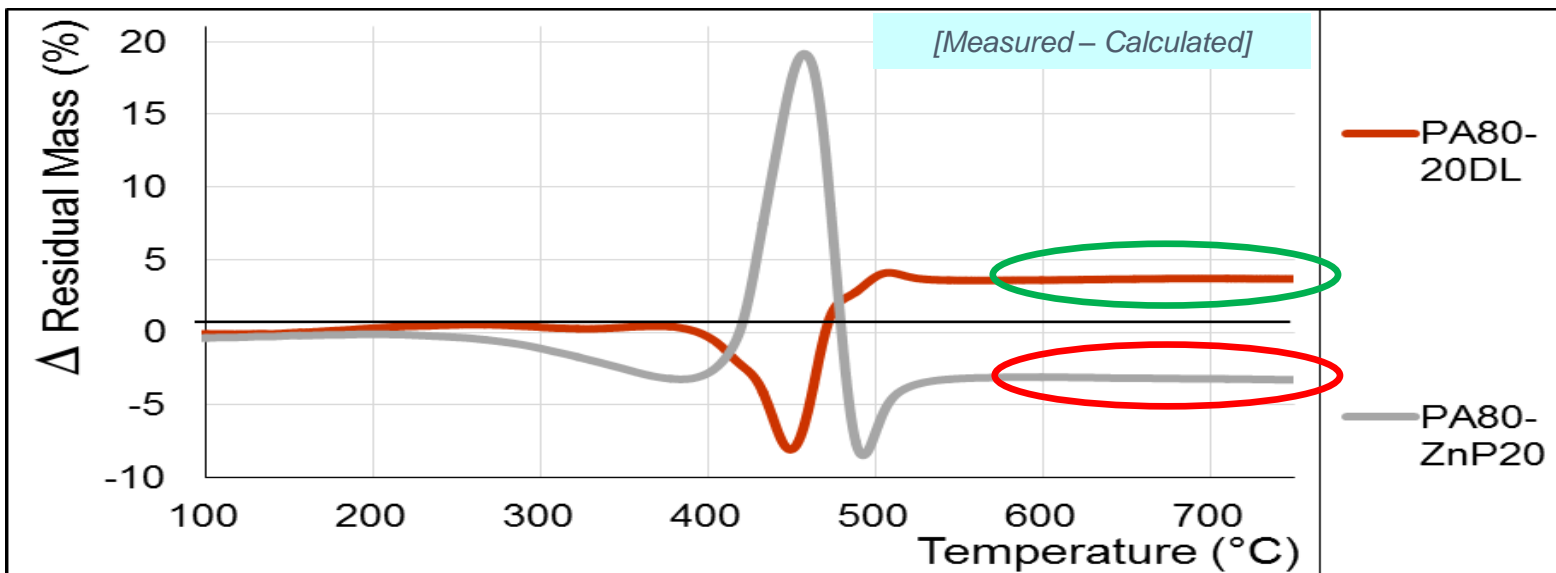
- **Addition of Domtar lignin** leads to higher fluidity
- **Addition of ZnP** leads to higher viscosity
- **Ternary blends** keep MFI compatible with spinning process (15-30 g/10 min)



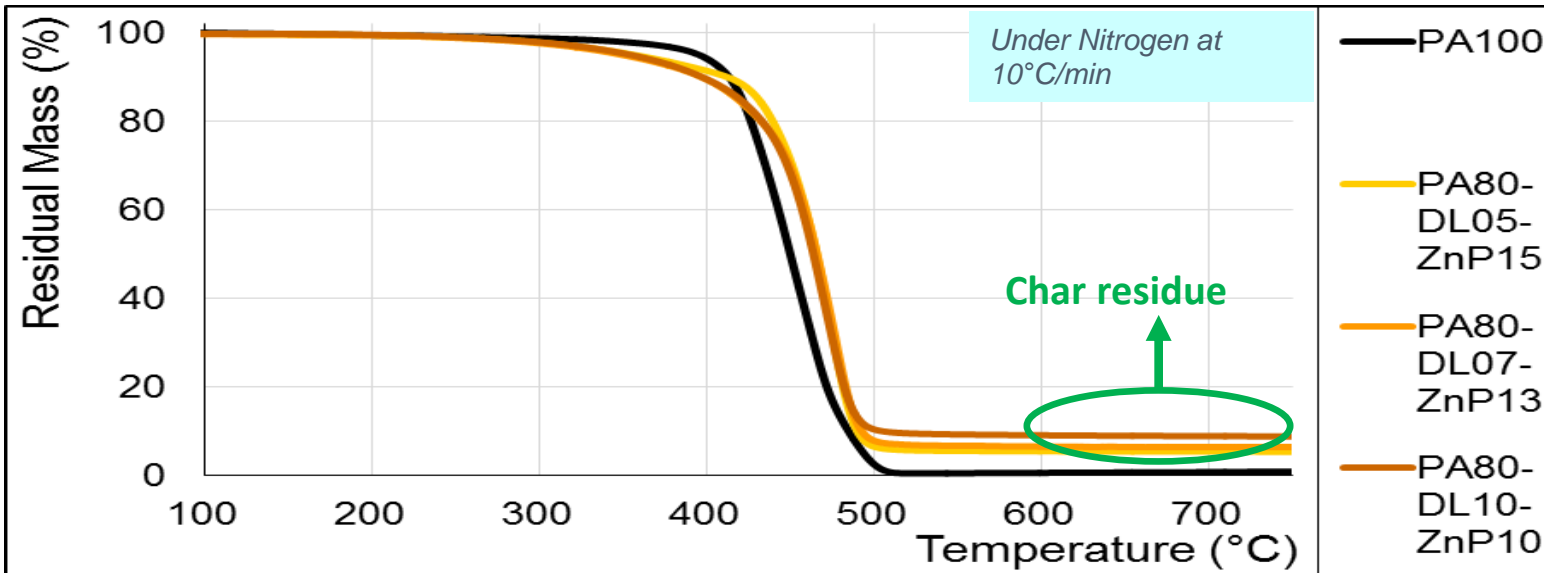
# Thermal degradation analysis



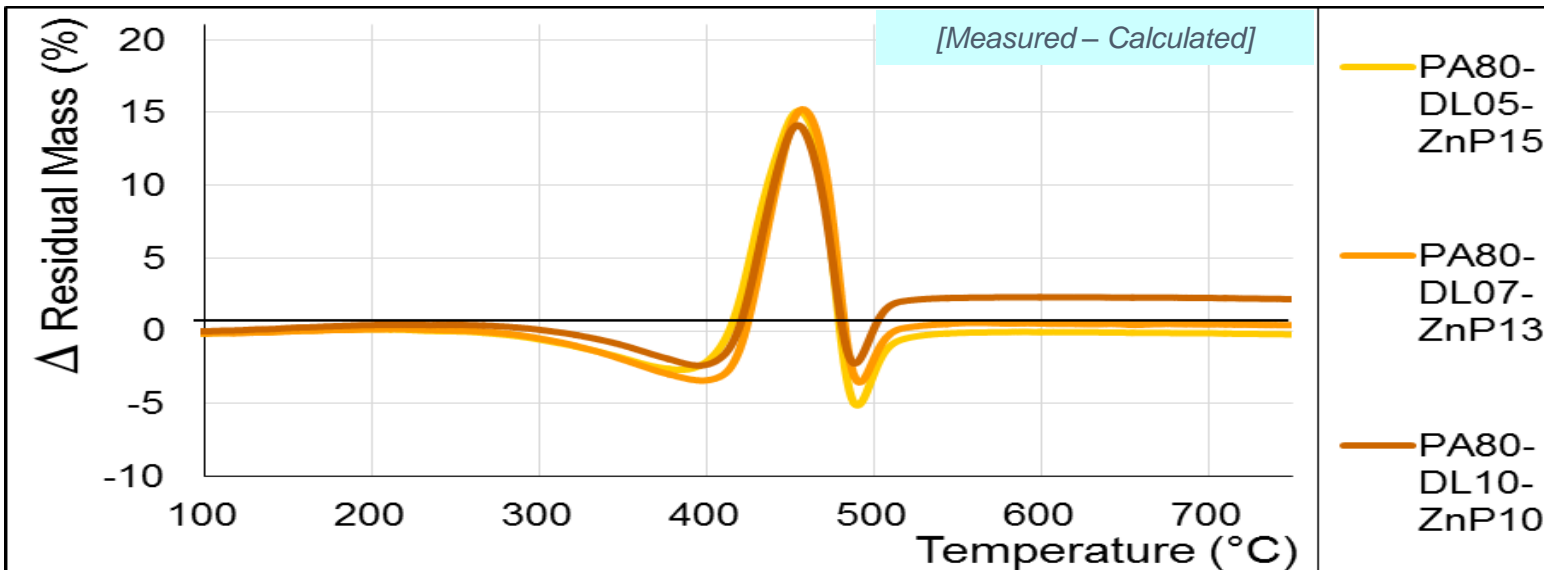
- **Phosphinate addition in PA**  
Shift of main degradation step but no residue
- **Lignin addition in PA**  
High charring efficiency,  
significant amount of char  
after 500 °C



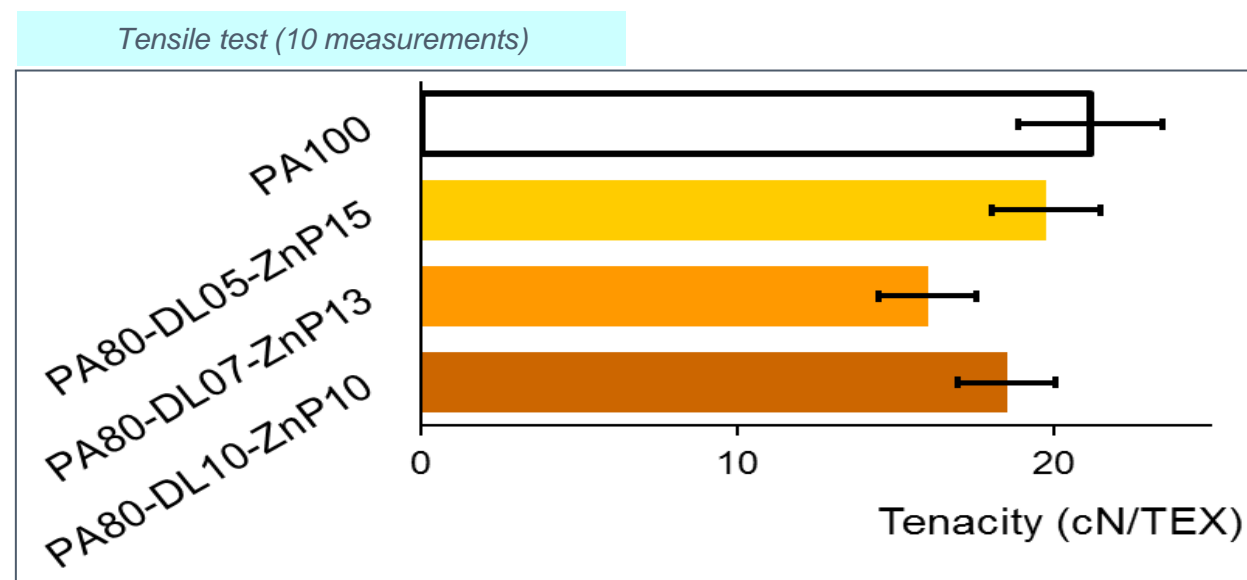
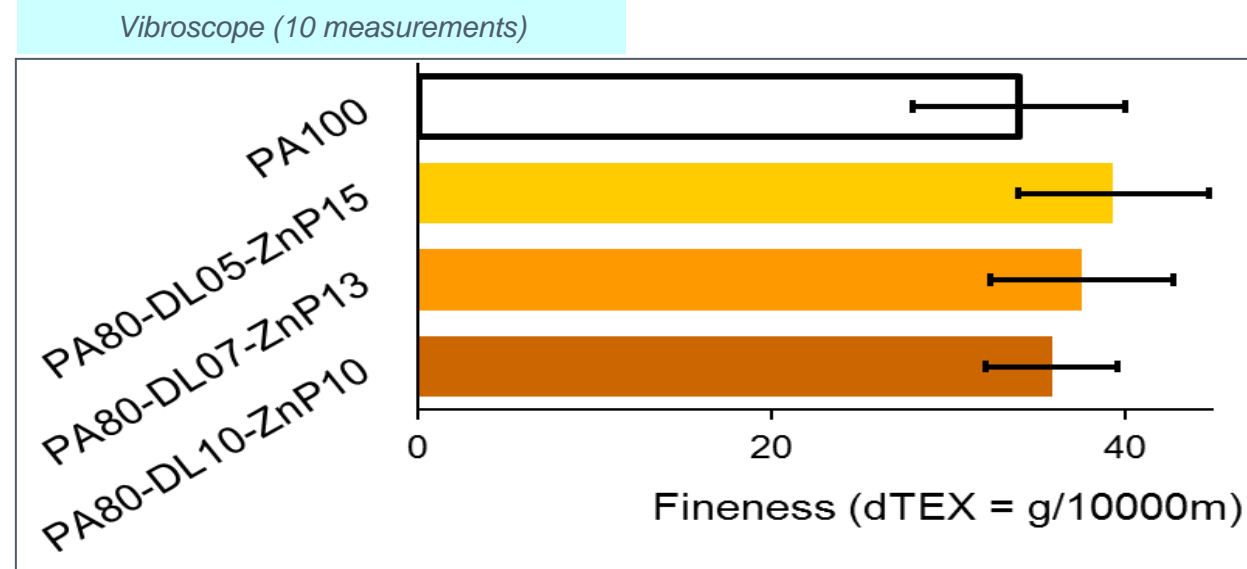
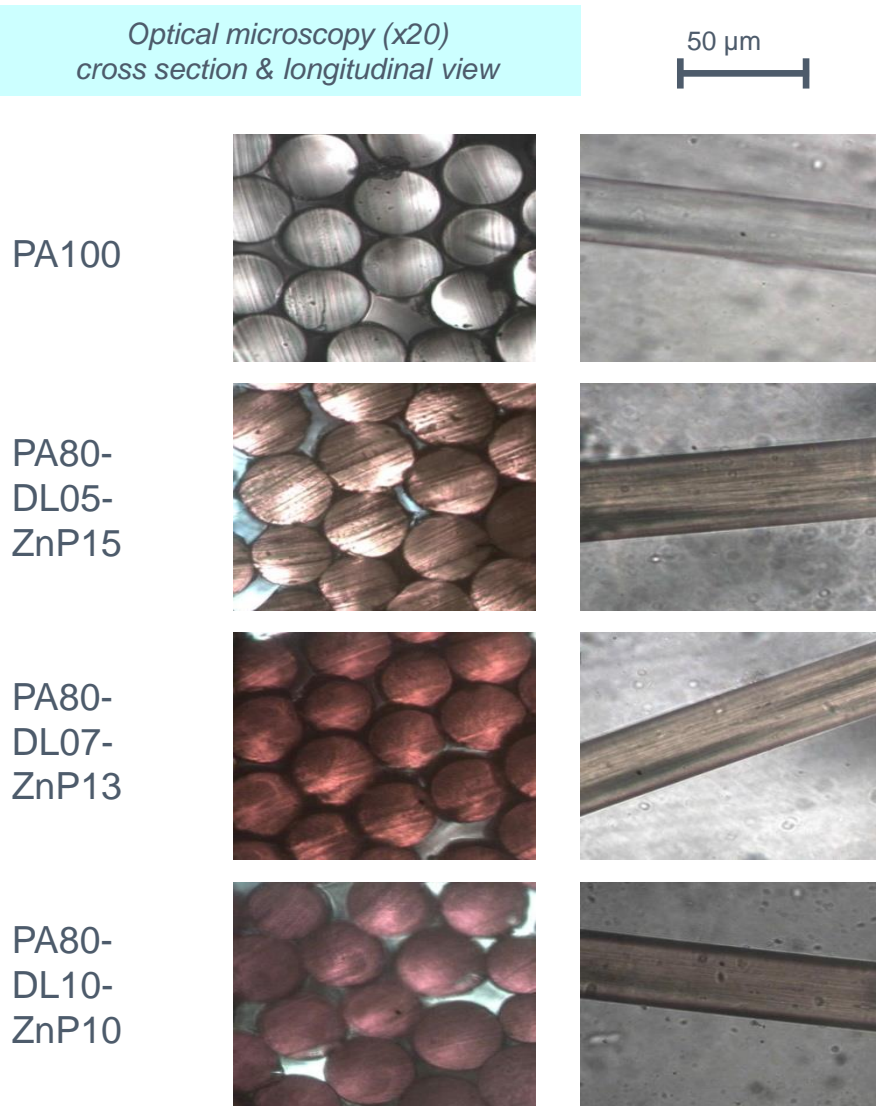
# Thermal degradation analysis



- ✓ **PA blends in combination with phosphinate and lignin**
  - Interaction of lignin and phosphinate initiate degradation before PA11
  - Thermal stability of blends shifts towards higher temperature by 50 °C
  - Noticeable char residue between 600 – 700 °C

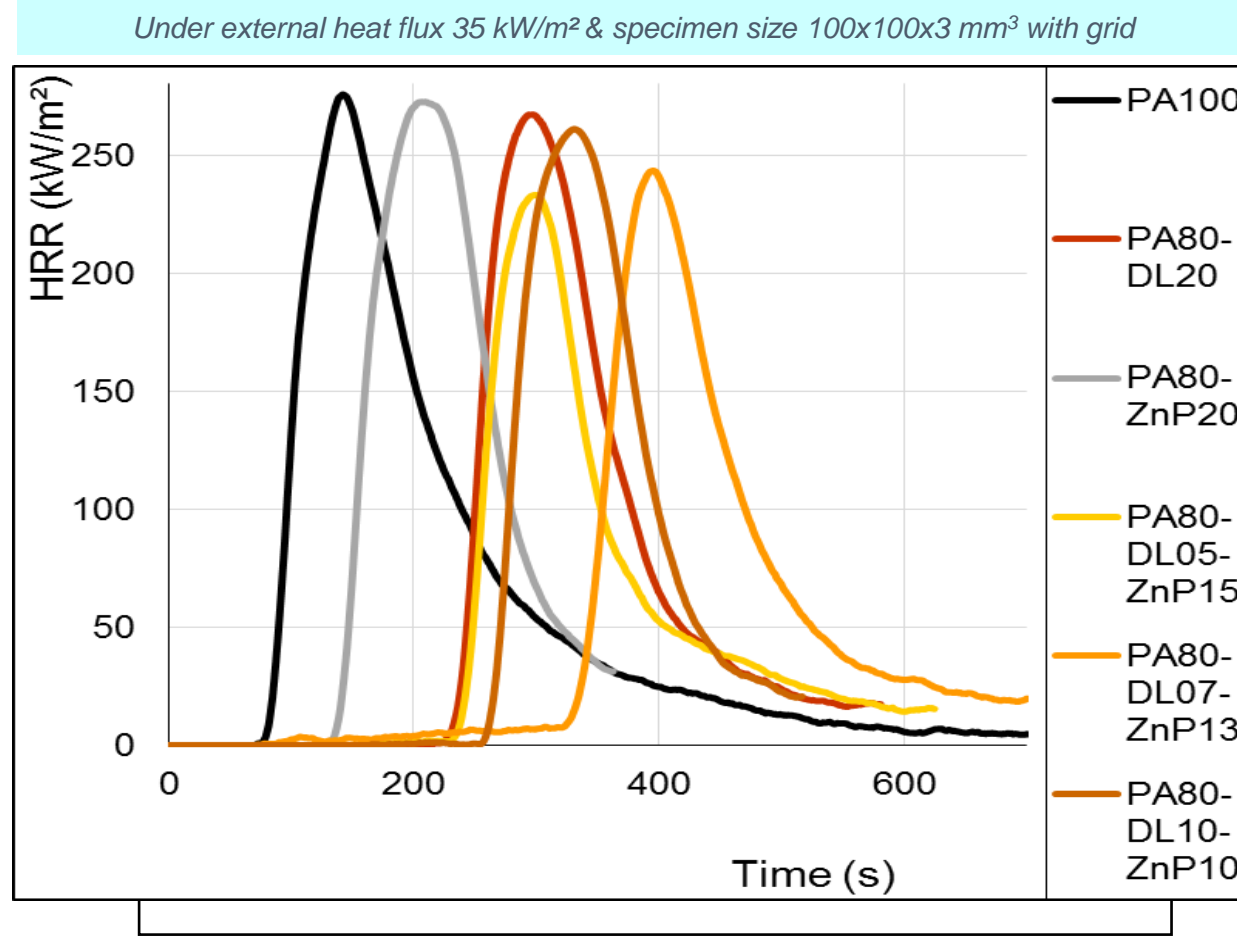


# Physical characterizations of filaments

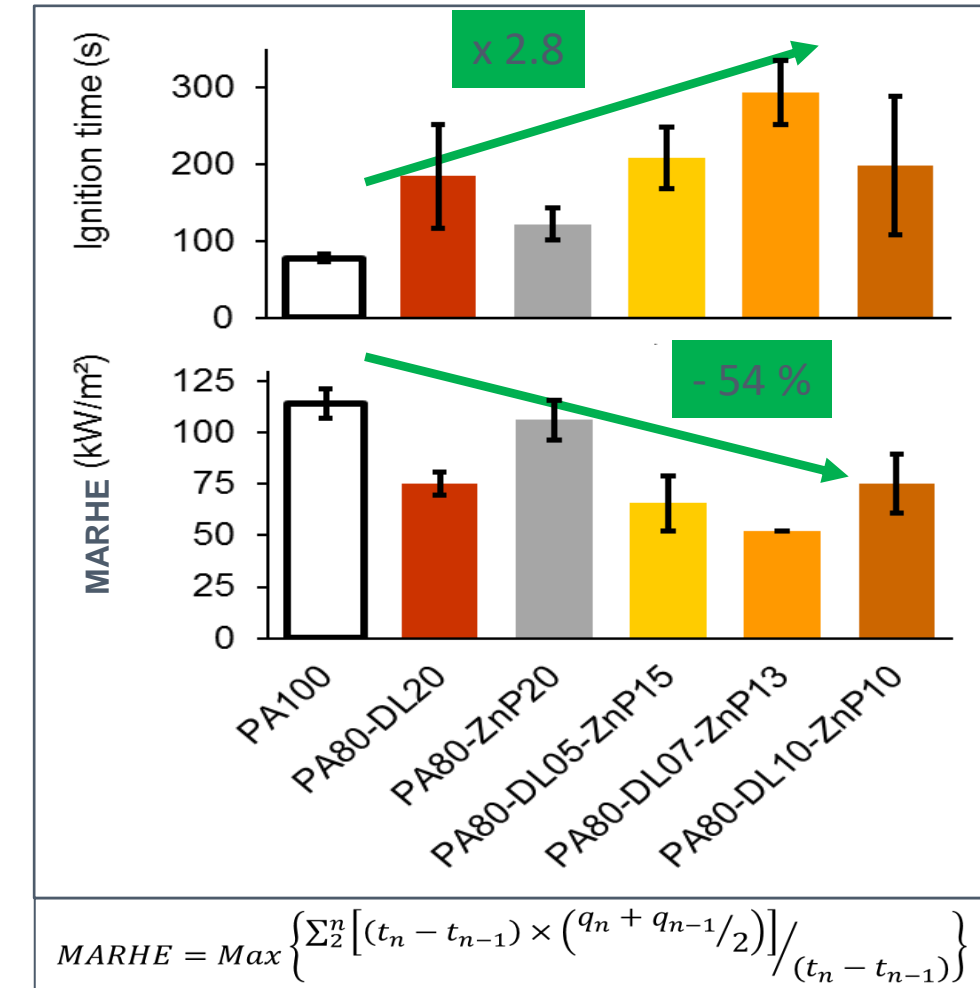


# Fire behavior analysis (cone calorimeter)

Characteristic of samples : knitted fabrics 1400 g/m<sup>2</sup> ( $\pm$  100 g/m<sup>2</sup>)



Best FR action with 7% lignin – 13% ZnP



# Fire behavior analysis (cone calorimeter)

PA100



PA80-ZnP20



PA80-DL20



PA80-DL05-ZnP15



PA80-DL07-ZnP13



PA80-DL10-ZnP10



- ✓ Noticeable quantity of residue (charring effect) only in presence of lignin
- ✓ **Obvious intumescence effect for ternary blends** : ignition delayed by the intumescent char layer but not enough strong in order to have a significant HRR decrease

# Conclusions & Perspectives

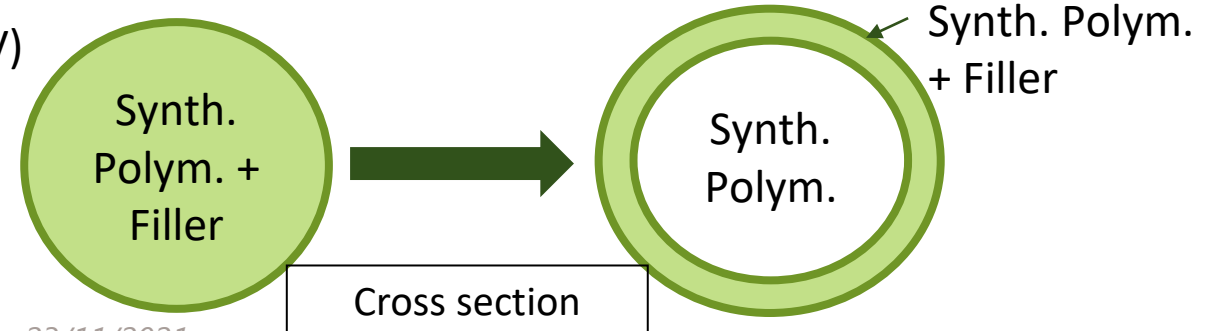
---

## Conclusions:

- Domtar Lignin has better dispersion and antibacterial properties than Kraft lignin
- Both lignins decrease the mechanical properties but multifilament can be transformed in textile structure
- Domtar lignin improves the fire reaction with charring effect and a lower loading content of phosphorus additive

## Perspectives :

- Studying the antibacterial and flame retardant properties on a fabric with a unique lignin formulation
- Testing the durability of anti-bacterial and flame retardant properties
  - > Washing (rain)
  - > Weather conditions (temperature, humidity, UV)
- Bi-component filament



# Acknowledgements :

---

**Interreg**  
France-Wallonie-Vlaanderen



GoToS3  
**DURATEX**



met de steun van  
**west-vlaanderen**  
de gedreven provincie

**ensait**  
ROUBAIX  
ECOLE D'INGENIEURS TEXTILE

**gemtex**  
ROUBAIX  
LABORATOIRE DE RECHERCHE TEXTILE

**Erasmus Mundus SMDTex**  
joint doctorate Program :  
**PhD Neeraj Mandlekar**



**DiSAT**



**UMET**  
Unité Matériaux Et Transformations

**L** Université  
de Lille